



自动控制原理 2014

线性系统的根轨迹  
法

邢超

# 线性系统的根轨迹法

## 根轨迹绘制基本法则

邢超

西北工业大学航天学院

根轨迹分支数、对  
称性和连续性

根轨迹的起点  
和终点

根轨迹的渐近线

根轨迹在实轴上  
的分布

根轨迹的起始角与  
终止角

根轨迹的分离点与  
分离角

根轨迹与虚轴  
的交点

根之和  
( $n - 1 > m$ )

# 根轨迹分支数、对称性和连续性



线性系统的根轨迹  
法

邢超

- 根轨迹分支数等于开环零点数与开环极点数中的较大者，即  $\max(m, n)$
- 根轨迹关于实轴对称
- 根轨迹是连续的

根轨迹分支数、对  
称性和连续性

根轨迹的起点  
和终点

根轨迹的渐近线

根轨迹在实轴上  
的分布

根轨迹的起始角与  
终止角

根轨迹的分离点与  
分离角

根轨迹与虚轴  
的交点

根之和  
( $n - 1 > m$ )



线性系统的根轨迹  
法

邢超

根轨迹分支数、对  
称性和连续性

根轨迹的起点  
和终点

根轨迹的渐近线

根轨迹在实轴上  
的分布

根轨迹的起始角与  
终止角

根轨迹的分离点与  
分离角

根轨迹与虚轴  
的交点

根之和  
( $n - 1 > m$ )

$$K^* \frac{\prod_{j=1}^m (s - z_j)}{\prod_{i=1}^n (s - p_i)} = -1 \quad (1)$$

$$\prod_{i=1}^n (s - p_i) + K^* \prod_{j=1}^m (s - z_j) = 0 \quad (2)$$

$$\frac{1}{K^*} \prod_{i=1}^n (s - p_i) + \prod_{j=1}^m (s - z_j) = 0 \quad (3)$$

- 起点：开环极点
- 终点：开环零点

# 开环极点数大于零点数



线性系统的根轨迹法

邢超

$$K^* = \frac{\prod_{i=1}^n |s - p_i|}{\prod_{j=1}^m |s - z_j|} \quad (4)$$

根轨迹分支数、对称性和连续性

根轨迹的起点和终点

根轨迹的渐近线

根轨迹在实轴上的分布

根轨迹的起始角与终止角

根轨迹的分离点与分离角

根轨迹与虚轴的交点

根之和  
( $n - 1 > m$ )

$$K^* = \frac{|s|^{n-m} \prod_{i=1}^n |1 - \frac{p_i}{s}|}{\prod_{j=1}^m |1 - \frac{z_j}{s}|} \quad (5)$$

# 根轨迹的渐近线



线性系统的根轨迹  
法

邢超

$$K^* \frac{1}{(s - c)^{n-m}} \approx -1 \quad (6)$$

$$K^* \frac{\prod_{j=1}^m (1 - \frac{z_j}{s})}{s^{n-m} \prod_{i=1}^n (1 - \frac{p_i}{s})} \approx \frac{K^*}{s^{n-m} (1 - \frac{c}{s})^{n-m}} \quad (7)$$

$$(1 - \frac{c}{s})^{n-m} \prod_{j=1}^m (1 - \frac{z_j}{s}) \approx \prod_{i=1}^n (1 - \frac{p_i}{s}) \quad (8)$$

根轨迹分支数、对称性和连续性

根轨迹的起点和终点

根轨迹的渐近线

根轨迹在实轴上的分布

根轨迹的起始角与终止角

根轨迹的分离点与分离角

根轨迹与虚轴的交点

根之和  
( $n - 1 > m$ )



## 线性系统的根轨迹法

邢超

$$\left(1 - \frac{c}{s}\right)^{n-m} = \quad (9)$$

根轨迹分支数、对称性和连续性

$$\prod_{j=1}^m \left(1 - \frac{z_j}{s}\right) = \quad (10)$$

根轨迹的起点和终点

$$\prod_{i=1}^n \left(1 - \frac{p_i}{s}\right) = \quad (11)$$

### 根轨迹的渐近线

根轨迹在实轴上的分布

根轨迹的起始角与终止角

根轨迹的分离点与分离角

根轨迹与虚轴的交点

根之和  
( $n - 1 > m$ )

# 根轨迹的渐近线



线性系统的根轨迹  
法

邢超

$$\left(1 - \frac{c}{s}\right)^{n-m} = 1 - \frac{(n-m)c}{s} + \dots \quad (9)$$

根轨迹分支数、对称性和连续性

$$\prod_{j=1}^m \left(1 - \frac{z_j}{s}\right) = \quad (10)$$

根轨迹的起点和终点

$$\prod_{i=1}^n \left(1 - \frac{p_i}{s}\right) = \quad (11)$$

根轨迹的渐近线

根轨迹在实轴上的分布

根轨迹的起始角与终止角

根轨迹的分离点与分离角

根轨迹与虚轴的交点

根之和  
( $n-1 > m$ )



## 线性系统的根轨迹法

邢超

$$\left(1 - \frac{C}{S}\right)^{n-m} = \quad (9)$$

根轨迹分支数、对称性和连续性

根轨迹的起点和终点

$$\prod_{j=1}^m \left(1 - \frac{z_j}{s}\right) = 1 - \frac{\sum_{j=1}^m z_j}{s} + \dots \quad (10)$$

### 根轨迹的渐近线

根轨迹在实轴上的分布

根轨迹的起始角与终止角

根轨迹的分离点与分离角

根轨迹与虚轴的交点

根之和  
( $n - 1 > m$ )

$$\prod_{i=1}^n \left(1 - \frac{p_i}{s}\right) = \quad (11)$$





线性系统的根轨迹  
法

邢超

$$\left(1 - \frac{c}{s}\right)^{n-m} = \quad (9)$$

根轨迹分支数、对称性和连续性

$$\prod_{j=1}^m \left(1 - \frac{z_j}{s}\right) = \quad (10)$$

根轨迹的起点和终点

$$\prod_{i=1}^n \left(1 - \frac{p_i}{s}\right) = 1 - \frac{\sum_{i=1}^n p_i}{s} + \dots \quad (11)$$

根轨迹的渐近线

根轨迹在实轴上的分布

根轨迹的起始角与终止角

根轨迹的分离点与分离角

根轨迹与虚轴的交点

根之和  
( $n - 1 > m$ )



## 线性系统的根轨迹法

邢超

根轨迹分支数、对称性和连续性

根轨迹的起点和终点

根轨迹的渐近线

根轨迹在实轴上的分布

根轨迹的起始角与终止角

根轨迹的分离点与分离角

根轨迹与虚轴的交点

根之和  
( $n - 1 > m$ )

$$\left(1 - \frac{c}{s}\right)^{n-m} = 1 - \frac{(n-m)c}{s} + \dots \quad (9)$$

$$\prod_{j=1}^m \left(1 - \frac{z_j}{s}\right) = 1 - \frac{\sum_{j=1}^m z_j}{s} + \dots \quad (10)$$

$$\prod_{i=1}^n \left(1 - \frac{p_i}{s}\right) = 1 - \frac{\sum_{i=1}^n p_i}{s} + \dots \quad (11)$$



## 线性系统的根轨迹法

邢超

$$1 - \frac{(n-m)c}{s} - \frac{\sum_{j=1}^m z_j}{s} + \dots \approx 1 - \frac{\sum_{i=1}^n p_i}{s} + \dots$$
$$-(n-m)c - \sum_{j=1}^m z_j = \sum_{i=1}^n p_i \quad (12)$$

$$c = \frac{\sum_{i=1}^n p_i - \sum_{j=1}^m z_j}{n-m} \quad (13)$$

根轨迹分支数、对称性和连续性

根轨迹的起点和终点

根轨迹的渐近线

根轨迹在实轴上的分布

根轨迹的起始角与终止角

根轨迹的分离点与分离角

根轨迹与虚轴的交点

根之和  
( $n-1 > m$ )

## 根轨迹在实轴上的分布 $s \in R$ (开环零极点全为实数)



$$K^* \frac{\prod_{j=1}^m (s - z_j)}{\prod_{i=1}^n (s - p_i)} = -1 \quad (14)$$

线性系统的根轨迹法

邢超

根轨迹分支数、对称性和连续性

根轨迹的起点和终点

根轨迹的渐近线

根轨迹在实轴上的分布

根轨迹的起始角与终止角

根轨迹的分离点与分离角

根轨迹与虚轴的交点

根之和  
( $n - 1 > m$ )

$$K^* \frac{\prod_{j=1}^m \rho_j}{\prod_{i=1}^n A_i} = -1 \quad (15)$$

$$K^* \frac{\prod_{j=1}^m |\rho_j|}{\prod_{i=1}^n |A_i|} \frac{j = 1(-1)^q}{(-1)^r} = -1 \quad (16)$$

实轴上某区域，若其右边开环实数零、极点个数之和为奇数，则该区域必是根轨迹。

# 根轨迹在实轴上的分布 $s \in R$ (开环零极点存在共轭复数)



线性系统的根轨迹  
法

邢超

$$K^* G_q(s)(s - z_q)(s - \bar{z}_q) = -1 \quad (17)$$

$$K^* G_i(s)(s - a - jb_q)(s - a + jb_q) = -1 \quad (18)$$

$$K^* G_i(s)((s - a)^2 + b_q^2) = -1 \quad (19)$$

根轨迹分支数、对称性和连续性

根轨迹的起点和终点

根轨迹的渐近线

根轨迹在实轴上的分布

根轨迹的起始角与终止角

根轨迹的分离点与分离角

根轨迹与虚轴的交点

根之和  
( $n - 1 > m$ )

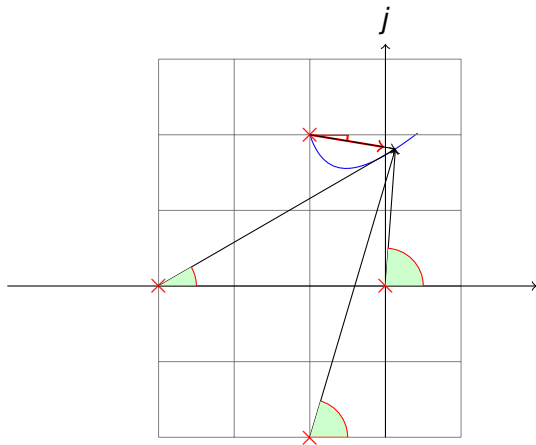
实轴上某区域，若其右边开环实数零、极点个数之和为奇数，则该区域必是根轨迹。

# 根轨迹的起始角与终止角



线性系统的根轨迹  
法

邢超



根轨迹分支数、对  
称性和连续性

根轨迹的起点  
和终点

根轨迹的渐近线

根轨迹在实轴上  
的分布

根轨迹的起始角与  
终止角

根轨迹的分离点与  
分离角

根轨迹与虚轴  
的交点

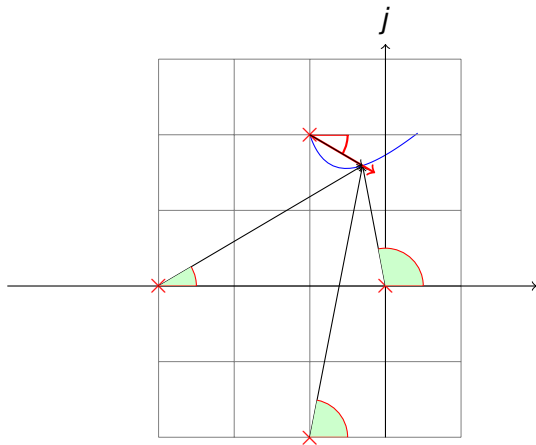
根之和  
( $n - 1 > m$ )

# 根轨迹的起始角与终止角



线性系统的根轨迹  
法

邢超



根轨迹分支数、对  
称性和连续性

根轨迹的起点  
和终点

根轨迹的渐近线

根轨迹在实轴上  
的分布

根轨迹的起始角与  
终止角

根轨迹的分离点与  
分离角

根轨迹与虚轴  
的交点

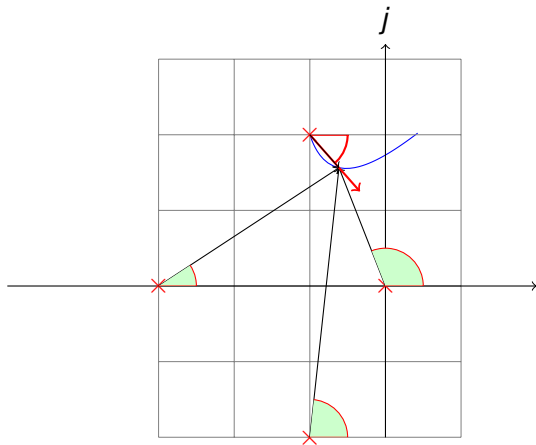
根之和  
( $n - 1 > m$ )

# 根轨迹的起始角与终止角



线性系统的根轨迹  
法

邢超



根轨迹分支数、对  
称性和连续性

根轨迹的起点  
和终点

根轨迹的渐近线

根轨迹在实轴上  
的分布

根轨迹的起始角与  
终止角

根轨迹的分离点与  
分离角

根轨迹与虚轴  
的交点

根之和  
( $n - 1 > m$ )

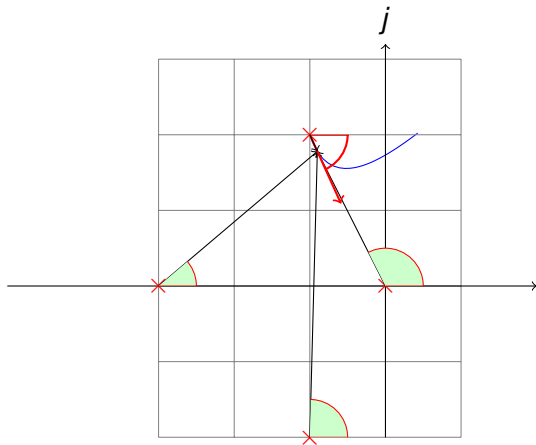


# 根轨迹的起始角与终止角



线性系统的根轨迹  
法

邢超



根轨迹分支数、对  
称性和连续性

根轨迹的起点  
和终点

根轨迹的渐近线

根轨迹在实轴上  
的分布

根轨迹的起始角与  
终止角

根轨迹的分离点与  
分离角

根轨迹与虚轴  
的交点

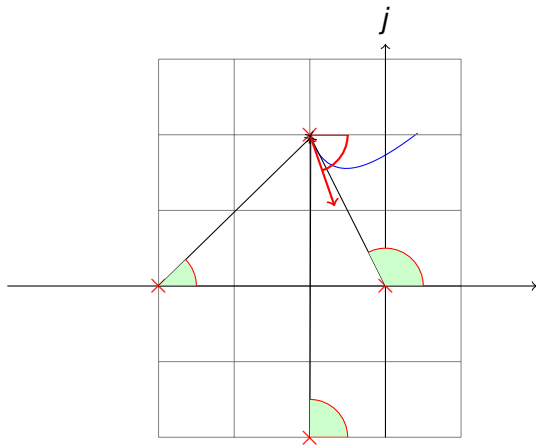
根之和  
( $n - 1 > m$ )

# 根轨迹的起始角与终止角



线性系统的根轨迹  
法

邢超



根轨迹分支数、对  
称性和连续性

根轨迹的起点  
和终点

根轨迹的渐近线

根轨迹在实轴上  
的分布

根轨迹的起始角与  
终止角

根轨迹的分离点与  
分离角

根轨迹与虚轴  
的交点

根之和  
( $n - 1 > m$ )

## 起始角

$$\sum_{l=1}^m \angle(\mathbf{s} - \mathbf{z}_l) - \sum_{i=1}^n \angle(\mathbf{s} - \mathbf{p}_i) = (2k+1)\pi$$

$$\mathbf{s} = \mathbf{p}_q + \delta r e^{j\theta}$$

$$\sum_{l=1}^m \angle(\mathbf{p}_q + \delta r e^{j\theta} - \mathbf{z}_l) - \sum_{i=1}^n \angle(\mathbf{p}_q + \delta r e^{j\theta} - \mathbf{p}_i) = (2k+1)\pi$$

$$\lim_{\delta r \rightarrow 0} \sum_{l=1}^m \angle(\mathbf{p}_q + \delta r e^{j\theta} - \mathbf{z}_l) - \sum_{i=1}^n \angle(\mathbf{p}_q + \delta r e^{j\theta} - \mathbf{p}_i) = (2k+1)\pi$$

$$\sum_{l=1}^m \angle(\mathbf{p}_q - \mathbf{z}_l) - \sum_{\mathbf{p}_q = \mathbf{p}_i} \theta - \sum_{\mathbf{p}_q \neq \mathbf{p}_i} \angle(\mathbf{p}_q - \mathbf{p}_i) = (2k+1)\pi$$

## 终止角

$$\sum_{l=1}^m \angle(s - z_l) - \sum_{i=1}^n \angle(s - p_i) = (2k + 1)\pi$$

$$s = z_q + \delta r e^{j\theta}$$

$$\sum_{l=1}^m \angle(z_q + \delta r e^{j\theta} - z_l) - \sum_{i=1}^n \angle(z_q + \delta r e^{j\theta} - p_i) = (2k + 1)\pi$$

$$\lim_{\delta r \rightarrow 0} \sum_{l=1}^m \angle(z_q + \delta r e^{j\theta} - z_l) - \sum_{i=1}^n \angle(z_q + \delta r e^{j\theta} - p_i) = (2k + 1)\pi$$

$$\sum_{z_q \neq z_l} \angle(z_q - z_l) + \sum_{z_q = z_l} \theta - \sum_{i=1}^n \angle(z_q - p_i) = (2k + 1)\pi$$



## 线性系统的根轨迹法

邢超

根轨迹分支数、对称性和连续性

根轨迹的起点和终点

根轨迹的渐近线

根轨迹在实轴上的分布

根轨迹的起始角与终止角

根轨迹的分离点与分离角

根轨迹与虚轴的交点

根之和  
( $n - 1 > m$ )



## 线性系统的根轨迹法

邢超

- 分离点: 两条或两条以上根轨迹分支在  $S$  平面上相交后又分开的点称为根轨迹的分离点。

根轨迹分支数、对称性和连续性

根轨迹的起点和终点

根轨迹的渐近线

根轨迹在实轴上的分布

根轨迹的起始角与终止角

根轨迹的分离点与分离角

根轨迹与虚轴的交点

根之和  
( $n - 1 > m$ )



线性系统的根轨迹法

邢超

- 分离点: 两条或两条以上根轨迹分支在  $S$  平面上相交后又分开的点称为根轨迹的分离点。
- 分离角: 根轨迹进入分离点的切线方向与离开分离点的切线方向之间的夹角

根轨迹分支数、对称性和连续性

根轨迹的起点和终点

根轨迹的渐近线

根轨迹在实轴上的分布

根轨迹的起始角与终止角

根轨迹的分离点与分离角

根轨迹与虚轴的交点

根之和  
( $n - 1 > m$ )



$$G(s) = \frac{K^* M(s)}{N(s)}$$

$$D(s) = N(s) + K^* M(s)$$

$$N(s) = -K^* M(s)$$

$$N'(s) = -K^* M'(s)$$

$$\frac{N'(s)}{N(s)} = \frac{M'(s)}{M(s)}$$

$$\frac{\frac{d}{ds} \prod_{i=1}^n (s - p_i)}{\prod_{i=1}^n (s - p_i)} = \frac{\frac{d}{ds} \prod_{j=1}^m (s - z_j)}{\prod_{j=1}^m (s - z_j)}$$

$$\sum_{i=1}^n \frac{1}{s - p_i} = \sum_{j=1}^m \frac{1}{s - z_j}$$

线性系统的根轨迹  
法

邢超

根轨迹分支数、对  
称性和连续性

根轨迹的起点  
和终点

根轨迹的渐近线

根轨迹在实轴上  
的分布

根轨迹的起始角与  
终止角

根轨迹的分离点与  
分离角

根轨迹与虚轴  
的交点

根之和  
( $n - 1 > m$ )





## 分离角计算:

设  $K^* = K_0$  时有重极点。可将原特征方程变换

$$D(s) = N(s) + K^* M(s)$$

$$D(s) = N(s) + (K' + K_0)M(s)$$

$$D(s) = N(s) + K_0 M(s) + K' M(s)$$

$$D'(s) = N'(s) + K' M(s)$$

- 原系统的分离点等于新系统的起始点
- 分离角等于  $180^\circ$  根轨迹与  $0$  度根轨迹起始角之差
  - $180^\circ$  根轨迹起始角:  $\theta_1$
  - $0$  度根轨迹起始角:  $\theta_2$
  - 其它零 (极) 点到分离点的辐角之和 (差):  $\theta_2$

$$L\theta_1 = \theta_0 + (2k_1 + 1)\pi$$

$$L\theta_2 = \theta_0 + 2k_2\pi$$

$$L\Delta\theta = (2(k_1 - k_2) + 1)\pi$$

$$\Delta\theta = \frac{(2k + 1)\pi}{L}$$

线性系统的根轨迹法

邢超

根轨迹分支数、对称性和连续性

根轨迹的起点和终点

根轨迹的渐近线

根轨迹在实轴上的分布

根轨迹的起始角与终止角

根轨迹的分离点与分离角

根轨迹与虚轴的交点

根之和  
( $n - 1 > m$ )



线性系统的根轨迹  
法

邢超

根轨迹分支数、对  
称性和连续性

根轨迹的起点  
和终点

根轨迹的渐近线

根轨迹在实轴上  
的分布

根轨迹的起始角与  
终止角

根轨迹的分离点与  
分离角

根轨迹与虚轴  
的交点

根之和  
( $n - 1 > m$ )

$$1 + G(s)H(s) = 0$$

$$s = j\omega$$

$$1 + G(j\omega)H(j\omega) = 0$$

# 根之和 ( $n - 1 > m$ )



## 线性系统的根轨迹法

邢超

$$\prod_{i=1}^n (s - p_i) + K^* \prod_{j=1}^m (s - z_j) = 0$$

$$\prod_{i=1}^n (s - p_i) = s^n + \sum_{i=1}^n (-p_i) s^{n-1} + \dots$$

$$\prod_{j=1}^m (s - z_j) = s^m + \sum_{j=1}^m (-z_j) s^{m-1} + \dots$$

$$\prod_{i=1}^n (s - p_i) + K^* \prod_{j=1}^m (s - z_j) = s^n + \sum_{i=1}^n (-p_i) s^{n-1} + \dots$$

根轨迹分支数、对称性和连续性

根轨迹的起点和终点

根轨迹的渐近线

根轨迹在实轴上的分布

根轨迹的起始角与终止角

根轨迹的分离点与分离角

根轨迹与虚轴的交点

根之和  
( $n - 1 > m$ )

## 根之和 ( $n - 1 > m$ )



$$\prod_{i=1}^n (s - p_i) + K^* \prod_{j=1}^m (s - z_j) = s^n + \sum_{i=1}^n (-p_i) s^{n-1} + \dots$$

线性系统的根轨迹法

邢超

$$\prod_{i=1}^n (s - p_i) + K^* \prod_{j=1}^m (s - z_j) = \prod_{i=1}^n (s - s_i)$$

根轨迹分支数、对称性和连续性

$$\prod_{i=1}^n (s - s_i) = s^n + \sum_{i=1}^n (-s_i) s^{n-1} + \dots$$

根轨迹的起点和终点

根轨迹的渐近线

$$\sum_{i=1}^n (-p_i) s^{n-1} = \sum_{i=1}^n (-s_i) s^{n-1}$$

根轨迹在实轴上的分布

根轨迹的起始角与终止角

$$\sum_{i=1}^n (-p_i) = \sum_{i=1}^n (-s_i)$$

根轨迹的分离点与分离角

根轨迹与虚轴的交点

$$\sum_{i=1}^n p_i = \sum_{i=1}^n s_i$$

根之和  
( $n - 1 > m$ )